

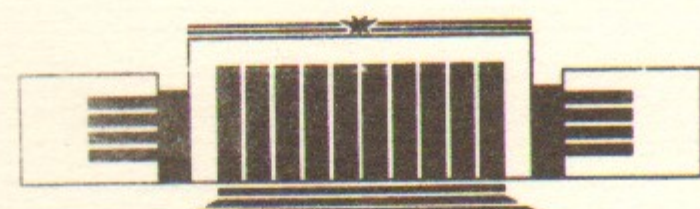
ИНСТИТУТ ЯДЕРНОЙ ФИЗИКИ СО АН СССР



Г.В. Росляков, С.Ю. Таскаев, Г.И. Фиксель

ИЗМЕРЕНИЕ КОЭФФИЦИЕНТОВ
ОТРАЖЕНИЯ ПРОТОНОВ НИЗКОЙ ЭНЕРГИИ
ОТ МЕТАЛЛИЧЕСКОЙ ПОВЕРХНОСТИ
МЕТОДОМ РЕЗЕРФОРДОВСКОГО РАССЕЯНИЯ
БЫСТРЫХ АТОМОВ

ПРЕПРИНТ 86-168



НОВОСИБИРСК
1986

1. ВВЕДЕНИЕ

Эффекты отражения легких атомов от различных конструкционных материалов играют большую роль во многих областях экспериментальной физики, как, например, в исследованиях по удержанию плазмы, физике твердого тела. Одним из основных вопросов является определение коэффициентов отражения частиц и энергии.

Экспериментальному и теоретическому изучению этого вопроса посвящено **большое** количество работ. Обзор современного состояния проблемы дан в работах [1, 2], где можно найти и подробную библиографию.

Наименее изученным является диапазон энергий атомов, бомбардирующих поверхность, в десятки-сотни эВ, хотя именно он представляет большой интерес, так как при этих энергиях, характерных для взаимодействия периферийной плазмы со стенкой в магнитных ловушках, ожидаются наиболее высокие коэффициенты отражения. Определенные расчетным путем, коэффициенты отражения энергии достигают значений $\sim 40\%$, а отражения частиц $\sim 60\%$. Экспериментально этот диапазон энергий изучен слабо. Это связано, в основном, с трудностями экспериментальных измерений характеристик потока отраженных атомов (интенсивности, энергетического спектра, углового распределения), поскольку в этой области энергий эффективность регистрации атомов мала.

В работе [3] приведены результаты экспериментов по определению коэффициентов отражения атомов водорода от различных

материалов в диапазоне энергий $100 \div 600$ эВ. Регистрация и измерение энергетического спектра отраженных атомов осуществлялась путем перезарядки их в протоны на налетающем потоке плазмы.

В данной работе описаны результаты экспериментов по определению энергетического спектра отраженных атомов методом резерфордовского рассеяния быстрых атомов водорода [4, 5]. Эксперименты, так же как и в работе [3], проводились в условиях, характерных для работы на плазменных установках: вакуум $\sim 10^{-5} \div 10^{-6}$ Тор, плотность потока бомбардирующих частиц $\sim 0,1 \div 1$ А/см², температура отражающей поверхности 500° С.

2. РЕЗУЛЬТАТЫ ЭКСПЕРИМЕНТА

Схема эксперимента показана на рис. 1. Поток водородной плазмы из источника плазмы 6 транспортировался продольным магнитным полем соленоида 5 и попадал на пластину 15, на которую подавалось отрицательное, относительно анода источника плазмы, напряжение. Протоны, ускоренные в ленгмюровском слое

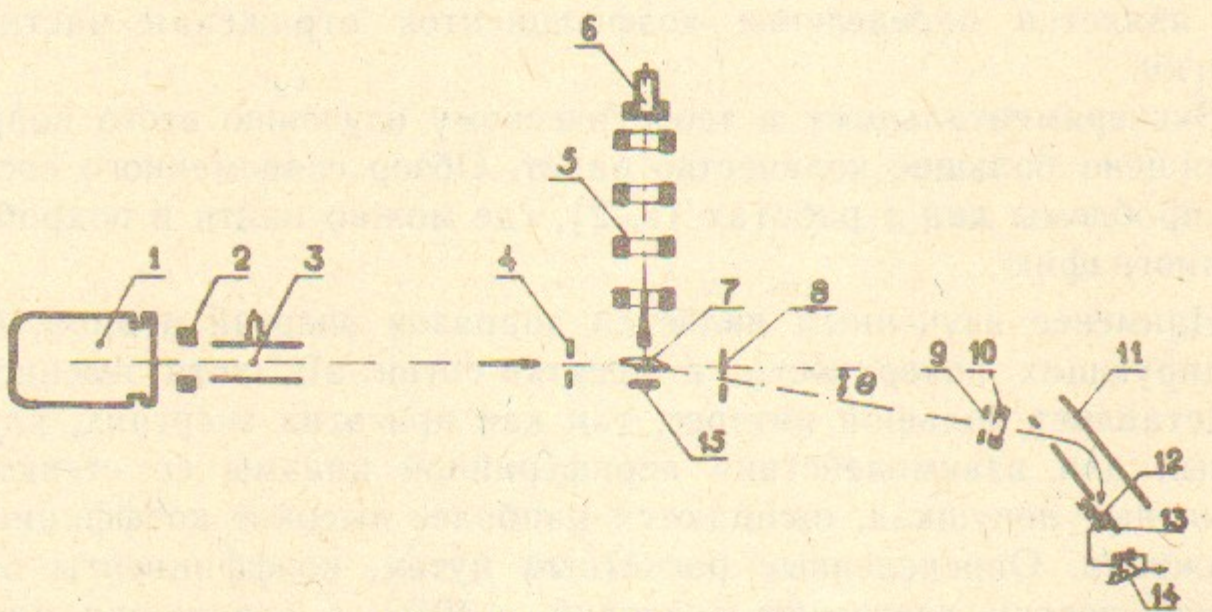


Рис. 1. Схема эксперимента:

1—инжектор ДИНА-4, 2—магнитная линза, 3—перезарядная мишень, 4, 8, 9—коллиматоры, 5—соленоид, 6—источник плазмы, 7—область рассеяния, 10—электростатическая линза, 11—45°-электростатический анализатор, 12—микроканальная пластина, 13—коллекторы, 14—интегрирующие усилители, 15—пластина.

до энергии, соответствующей приложенному напряжению, бомбардировали пластину и отражались от нее в виде атомов. Монокинетический пучок быстрых атомов водорода, создаваемый инжекто-

ром 1, фокусировался на расстояние 2 м в область рассеяния 7, где рассеивался, как в виде атомов, так и в виде протонов. По энергетическому спектру протонов, рассеянных на угол θ , определялся энергетический спектр отраженных атомов.

В качестве импульсного источника плазмы использовался источник на основе дугового разряда с холодным катодом [6]: эквивалентный ток протонов 20 А, длительность 100 мкс. Источник удален от области рассеяния на расстояние 50 см, что уменьшало плотность газа, вытекающего из источника, в области рассеяния. Пластина 15 размером 4×6 см² была сделана из нержавеющей стали и прогревалась до 500° С.

Диагностический инжектор ДИНА-4 [7] создавал пучок атомов водорода энергией $E_0 = 10$ кэВ ± 16 эВ, длительностью 100 мкс, плотностью тока в области рассеяния ~ 70 мА/см² с угловой расходимостью $1,5 \cdot 10^{-2} \times 3 \cdot 10^{-2}$ рад.

Размер области рассеяния составлял $8 \times 50 \times 19$ см³ и определялся коллимационными щелями 4, 8, 9 размерами 6×15 мм², $4,6 \times 15$ мм², 8×15 мм², находящимися от центра области рассеяния на расстояниях 130, 140, 600 мм соответственно. Расстояние до пластины ~ 30 мм. Угол рассеяния $\theta = 9^\circ$.

Рассеянный пучок протонов фокусировался в плоскости рассеяния электростатической линзой 10 на входное отверстие 45°-анализатора 11, где анализировался по энергии и регистрировался 12 коллекторами с микроканальной пластиной и интегрирующими усилителями.

Изменение энергии быстрого атома водорода при упругом рассеянии на небольшой угол ($\theta \lesssim 10^\circ$) определяется следующим соотношением:

$$\Delta E = E_0 - E_1 = E_0 \eta \theta^2 \pm 20 \sqrt{E_0 \epsilon_{\perp} \eta} \quad (1)$$

где E_0 , E_1 —энергия атомов до и после рассеяния; θ —угол рассеяния; $\eta = m/M$ —отношение масс рассеянной и рассеивающей частиц; $\epsilon_{\perp} = \frac{1}{2}mv_{\perp}^2$, где v_{\perp} —составляющая скорости рассеивающей частицы в направлении, перпендикулярном направлению движения быстрого атома и лежащем в плоскости рассеяния. Знак (+) или (-) в формуле (1) соответствует двум возможным направлениям v_{\perp} . Пользуясь этой формулой, можно по энергетическому спектру рассеянного пучка определить распределение по энергии ϵ_{\perp} частиц мишени.

На рис. 2 показаны энергетические спектры рассеяния при различных экспериментальных условиях.

Кривая *a* соответствует рассеянию на остаточном газе при давлении $P = 5 \cdot 10^{-6}$ Тор. Кривая *b* снята при подаче водорода в источник плазмы. Кривая *c*—при работающем источнике плазмы. Кривая *g* измерена при установке пластины и подаче на нее напряжения $U_{pl} = -100$ В.

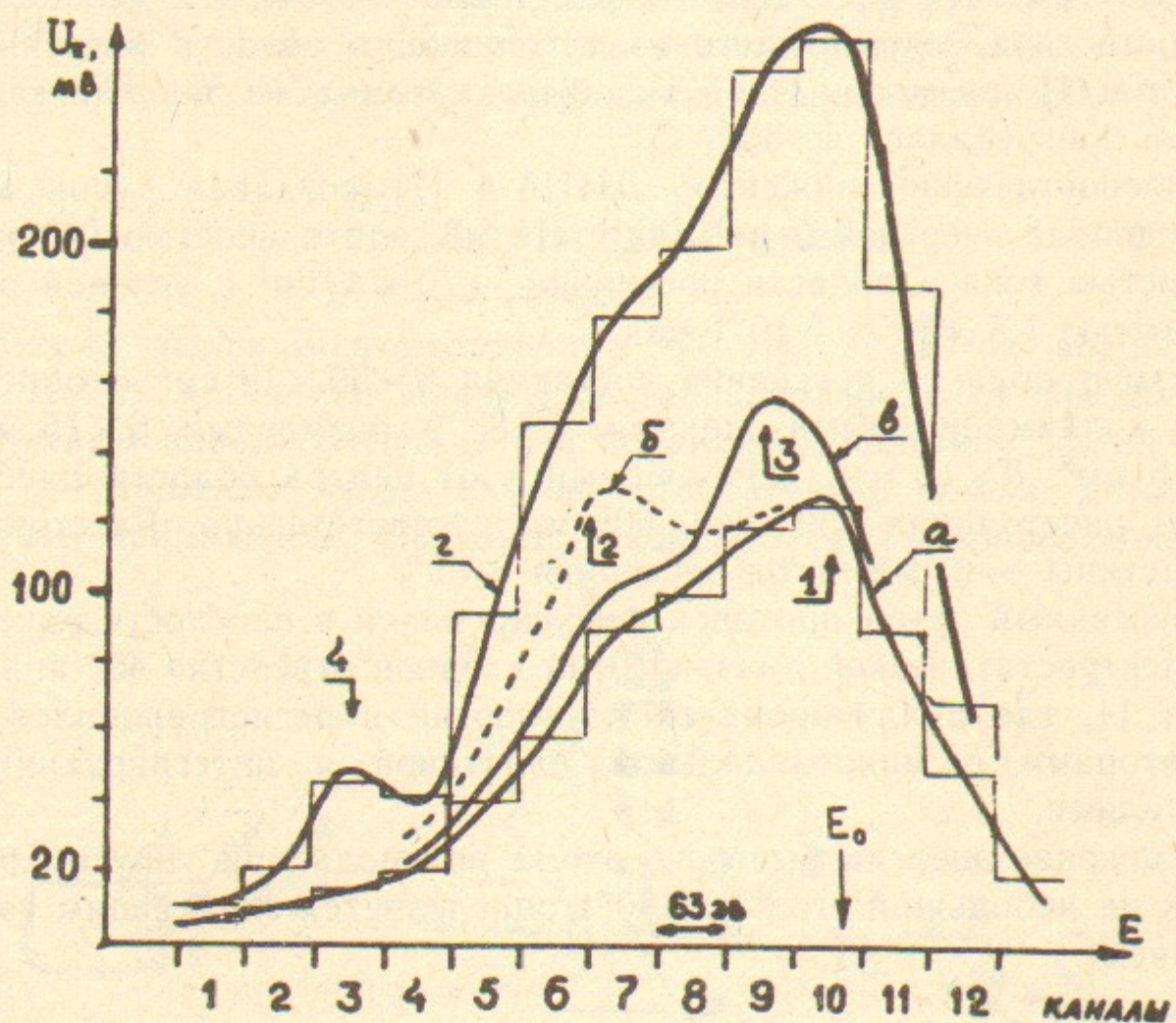


Рис. 2. Спектры рассеяния:

- a*) на остаточном газе; *b*) при подаче водорода в источник плазмы; *c*) при работающем источнике плазмы; *g*) при установке пластины и подаче на нее напряжения $U_{pl} = -100$ В.

На этих кривых можно выделить следующие места. Пик 1 соответствует рассеянию на тяжелых атомах остаточного газа, приводящему к малому изменению энергии рассеянного атома водорода.

Положение пика 2 соответствует рассеянию на тепловых атомах водорода, вытекающих из источника плазмы. Уменьшение энергии относительно рассеяния на остаточном газе составляет 220 эВ.

Пик 3 интерпретируется как рассеяние на протонах плазменной струи, которое приводит к увеличению энергии рассеянного атома относительно рассеяния на тепловых атомах водорода. Это увеличение составляет 140 эВ, что дает согласно (1) при $\eta = 1$, величину средней направленной энергии протонов плазменной струи $\varepsilon_{\perp pl} = 20$ эВ.

Пик 4 появляется при подаче отрицательного напряжения на пластину и соответствует рассеянию на атомах водорода, летящих с пластины, что приводит к уменьшению энергии рассеянных атомов водорода относительно рассеяния на тепловом водороде. Величина сдвига максимума пика составляет 220 эВ, что соответствует наиболее вероятной энергии направленного движения атомов $\varepsilon_{\perp max} = 50$ эВ. Относительная погрешность при определении энергии рассеивающих атомов составляет по нашим оценкам $\sim 30\%$. Увеличение амплитуды пиков 1 и 2 происходит, вероятно, из-за десорбции водорода и остаточного газа с пластины при бомбардировке ее протонами.

Аналогичные измерения были проведены при различных напряжениях на пластине, и на рисунке 3 представлены рассчитанные по этим результатам зависимости функции распределения атомов $F(\varepsilon_{\perp}) = \frac{dN_{\perp}}{d\varepsilon_{\perp}}$ от ε_{\perp} .

Необходимо отметить, что поскольку в область рассеяния попадают атомы, вылетевшие с пластины под разными углами, то полученный результат является, фактически, усреднением истинной функции распределения $f(\varepsilon)$ отраженных атомов по углу вылета θ с пластины. Для определения $f(\varepsilon)$ необходимо знать угловое распределение плотности потока отраженных атомов $j(\theta)$. На опыте и в расчетах [2] хорошо соблюдается косинусоидальное распределение: $j(\theta) \propto j_0 \cos \theta$, где угол θ отсчитывается от нормали к пластине. Тогда можно показать, что

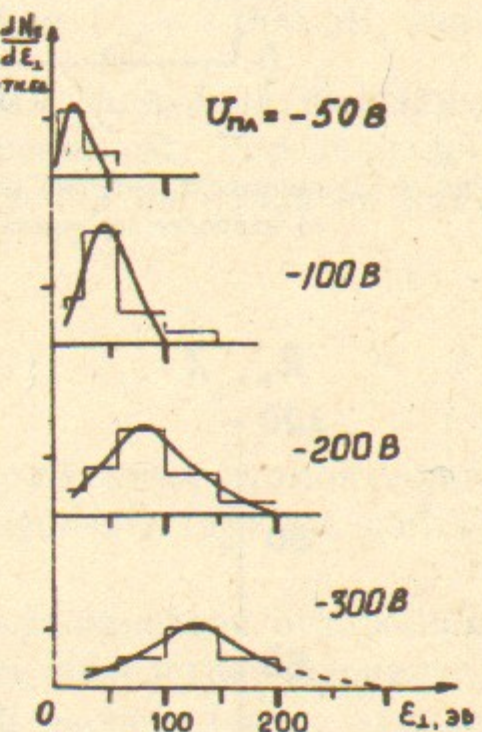


Рис. 3. Зависимость функции распределения отраженных атомов $\frac{dN_{\perp}}{d\varepsilon_{\perp}}$ от ε_{\perp} .

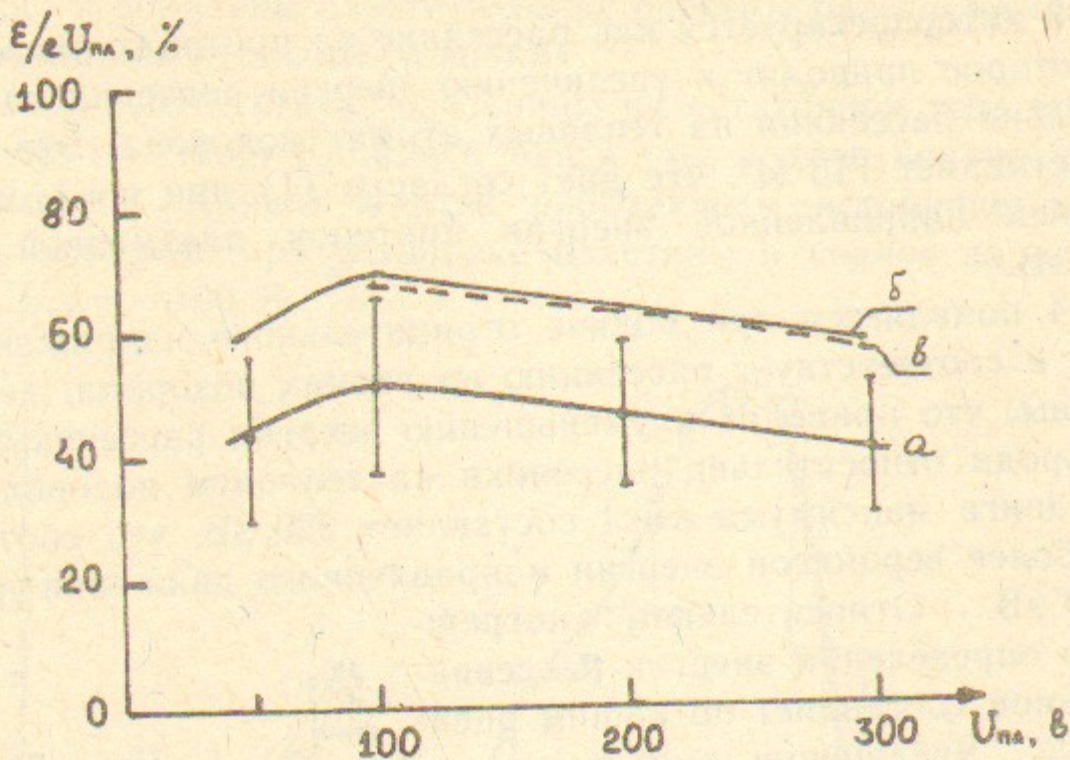


Рис. 4. Зависимость энергий отраженных атомов от напряжения на пластине U_{pl} :
а) наиболее вероятной $\epsilon_{\perp max}$; б) средней $\bar{\epsilon}$; в) $\bar{\epsilon}$ из работы [3].

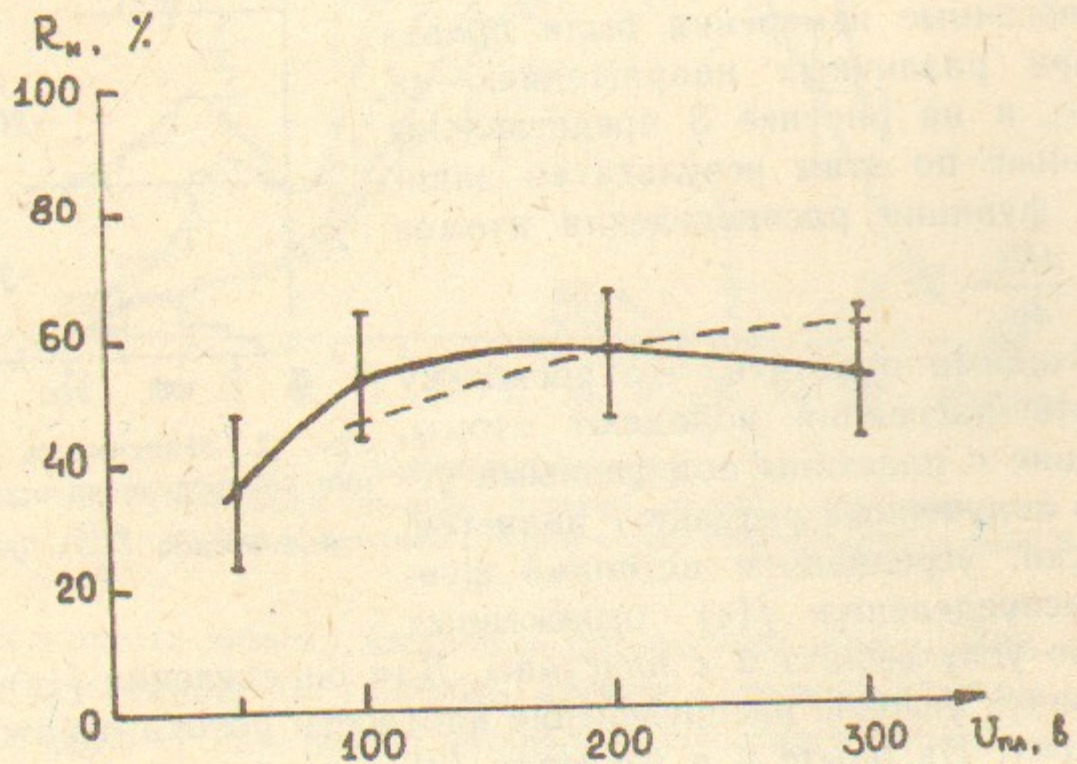


Рис. 5. Зависимость коэффициента отражения частиц R_N от напряжения на пластине U_{pl} .

$$F(\epsilon_{\perp}) \propto \int_{\epsilon_{\perp}}^{\epsilon_{\perp}/\cos^2 \theta_0} \frac{f(\epsilon)}{\epsilon} d\epsilon,$$

где θ_0 — угол, под которым область рассеяния видна из центра пластины.

По этой формуле определялась средняя энергия $\bar{\epsilon}$ отраженных атомов, зависимость которой от напряжения показана на рис. 4. Для сравнения на этом же рисунке показаны (пунктирной линией) результаты работы [3].

На рис. 5 показана зависимость коэффициента отражения частиц R_N от напряжения на пластине U_{pl} , где R_N определяется как $\int \frac{dN\epsilon}{d\epsilon} d\epsilon$ и нормируется на значение R_N при $U_{pl} = -200$ эВ, взятого из работы [3], результаты которой для сравнения показаны пунктирной линией. Погрешность в измерении R_N определялась статистическим разбросом, точностью измерений сигналов на коллекторе и составляла $\sim 30\%$.

3. ЗАКЛЮЧЕНИЕ

1. Измерены энергетические спектры отраженных атомов водорода в диапазоне энергий $50 \div 300$ эВ. Полученные данные согласуются с результатами работы [3].

2. Определить абсолютные значения коэффициентов отражения частиц с достаточной точностью не удалось вследствие неопределенности в сечении рассеяния и геометрии эксперимента, однако относительная зависимость от энергии определена с точностью не меньшей 30% . Так же, как и в работе [3], обращает на себя внимание тот факт, что коэффициент отражения частиц падает при уменьшении энергии бомбардирующих протонов ниже 100 эВ. На возможность такого поведения было, например, указано в численном эксперименте [8], где это связывалось с наличием потенциального барьера на поверхности.

ЛИТЕРАТУРА

1. В.А. Курнаев, Е.С. Машкова, В.А. Молчанов. Отражение легких ионов от поверхности твердого тела. М.: Энергоатомиздат, 1985.
2. Е.С. Машкова. Физика плазмы, 1979, т.5, с.1385.
3. Г.В. Росляков, Г.И. Фиксель. Физика плазмы, 1986, т.12, с.232.
4. В.Г. Абрамов, В.В. Афросимов и др. ЖТФ, 1971, 41, 1924.
5. С.Ю. Таскаев. Дипломная работа. Новосибирск, 1983.
6. И.И. Морозов, Г.В. Росляков, препринт ИЯФ 83-71, Новосибирск.
7. Г.И. Димов, Г.В. Росляков, В.Я. Савкин. ПТЭ, 1977, 4, 29.
8. D.P. Jackson. Radiation Effects, 1980, 49, 233.

Г.В. Росляков, С.Ю. Таскаев, Г.И. Фиксель

Измерение коэффициентов отражения протонов
низкой энергии от металлической поверхности
методом резерфордовского рассеяния быстрых атомов

Ответственный за выпуск С.Г.Попов

Работа поступила 7 июля 1986 г.
Подписано в печать 18.11. 1986 г. МН 11869
Формат бумаги 60×90 1/16 Объем 0,9 печ.л., 0,8 уч.-изд.л.
Тираж 290 экз. Бесплатно. Заказ № 168

Набрано в автоматизированной системе на базе фотонаборного автомата ФА1000 и ЭВМ «Электроника» и отпечатано на ротапринте Института ядерной физики СО АН СССР,
Новосибирск, 630090, пр. академика Лаврентьева, 11.